

## スクッテルダイト化合物の高温高圧下における結晶 化

メタデータ	言語: Japanese
	出版者: 室蘭工業大学
	公開日: 2007-04-04
	キーワード (Ja):
	キーワード (En): skutterudite, high prssure synthesis,
	synchrotron radiation
	作成者: 関根, ちひろ, 木方, 邦宏, 荒関, 信人, 並木, 孝洋,
	佐藤, 慎吾, 中田, 隆介, 城谷, 一民
	メールアドレス:
	所属:
URL	http://hdl.handle.net/10258/47



## スクッテルダイト化合物の高温高圧下における結晶 化

その他(別言語等)	Experimental Technique of In Situ Observation	
のタイトル	for Crystallization of Skutterudite Compounds	
	under High Temperature and High Pressure	
著者	関根 ちひろ,木方 邦宏,荒関 信人,並木 孝	
	洋,佐藤 慎吾,中田 隆介,城谷 一民	
雑誌名	室蘭工業大学紀要	
巻	55	
ページ	15-24	
発行年	2005-11	
URL	http://hdl.handle.net/10258/47	

### スクッテルダイト化合物の高温高圧下における結晶化 その場観察技術の開発

関根ちひろ\*1、木方邦宏\*1、荒関信人\*1、並木孝洋\*1、佐藤慎吾\*1、中田隆介\*1、城谷一民\*1

# Experimental Technique of *In Situ* Observation for Crystallization of Skutterudite Compounds under High Temperature and High Pressure

Chihiro Sekine, Kunihiro Kiho, Nobuto Araseki, Takahiro Namiki, Shingo Sato, Ryusuke Nakata and Ichimin Shirotani

(原稿受付日 平成17年5月23日 論文受理日 平成17年9月2日)

#### Abstract

We have developed the experimental technique of *in situ* observation for crystallization under high temperature and high pressures using synchrotron radiation. Using the technique for *in situ* X-ray diffraction, we determined the melting points of binary skutterudite compounds  $CoP_3$  and  $CoSb_3$ , filled skutterudite compounds  $CeFe_4Sb_{12}$  and  $PrRu_4P_{12}$  under high pressure. The melting temperatures of  $CoP_3$  and  $CoSb_3$  are  $1350\sim1400^{\circ}\text{C}$  at 3.8GPa and  $820\sim840^{\circ}\text{C}$  at 2.5GPa, respectively. The melting temperatures of  $CeFe_4Sb_{12}$  and  $PrRu_4P_{12}$  are  $690\sim700^{\circ}\text{C}$  at 2.3GPa and  $1600\sim1650^{\circ}\text{C}$  at 3.4GPa, respectively.

Keywords: skutterudite, high prssure synthesis, synchrotron radiation

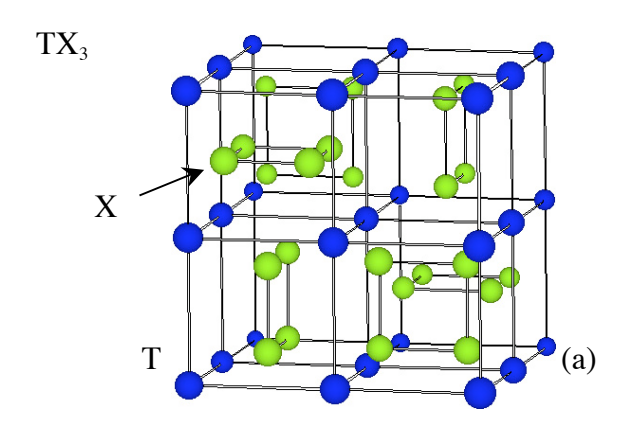
#### 1. はじめに

産業利用材料や基礎研究の対象としてこれまで 多くの化合物が合成されてきた。それに伴い試料 作成技術も飛躍的に進歩し、これまで合成が困難 であった物質も合成できるようになってきた。高 圧合成法は常圧下では得られない物質を合成でき る強力な試料作成手段の一つである。スクッテル ダイト化合物は次世代の高効率熱電材料への応用 が期待されている物質であるが、さらに近年、 非 BCS 超伝導、多極子転移、重い電子系的振舞、

\*1 電気電子工学科

金属 - 絶縁体転移などの強相関電子系物質に特有の異常物性を示すことが明らかとなり、固体物理学研究者の注目を集めている物質でもある<sup>(1)(2)(3)</sup>。

スクッテルダイト化合物は  $CoAs_3$  など天然に産出されるコバルト鉱石の中に発見された化合物である。スクッテルダイト(skutterudite)という名称はこのコバルト鉱石を産するノルウエーの地名(Skutterud)に由来している。スクッテルダイト化合物には  $CoAs_3$  等の二元系のスクッテルダイト化合物と  $PrRu_4P_{12}$  等の三元系の充填スクッテルダイト化合物が存在する $^{(4)}$ 。二元系のスクッテルダイト化合物の一般形は  $TX_3$  (T=Co,Rh,Ir 等の遷移



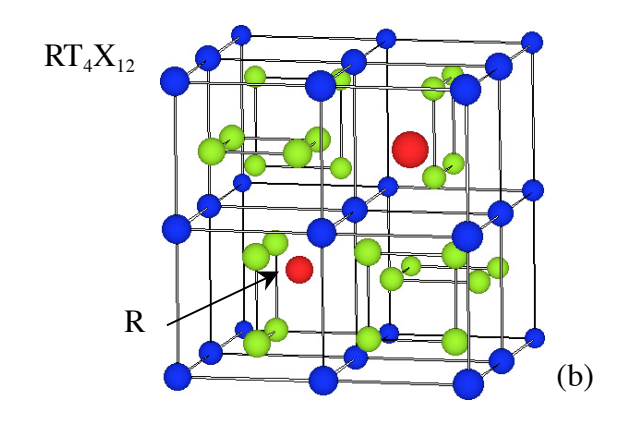


図1 スクッテルダイト化合物の結晶構造

金属元素、X=P, As, Sb のプニクトゲン元素)と表 され、充填スクッテルダイト化合物は RT<sub>4</sub>X<sub>1</sub>, (R= 希土類元素,アクチノイド元素、T=Fe, Ru, Os、X= プニクトゲン元素)と表される。構成元素の置換 によっても同一の結晶構造をとり、R, T, X の各元 素の組み合わせによって、100 種類以上のスクッ テルダイト化合物が考えられ、実際、多くの化合 物の合成が報告されている。結晶構造は体心立方 晶系で、空間群は Im-3(No. 204)である。図 1(a)に スクッテルダイト化合物の結晶構造を示す。T 原 子は8つの単純立方の副格子を組み、その8つの 副格子の内、6 個の副格子に  $X_4$  リングがそれぞれ 向きを変えて入っている。X<sub>4</sub>リングが入っていな い2個の"空き部屋"にR原子が充填されること により、充填スクッテルダイト構造になる(図1 (b))<sub>o</sub>

スクッテルダイト化合物の合成は、これまで P (リン) を含む化合物は Sn (スズ)、Sb (アンチモン) を含む化合物は Sb 自身をフラックス剤と

するフラックス法で 1mm 程度の大きさの単結晶を育成する方法が一般的であった。しかし、この方法では大形単結晶試料を得るのは極めて困難である。また、熱電材料としての物質開発では Sb 化合物を中心に、粉末を常圧下において合成し、ホットプレスによって焼結体とする方法が用いられている。しかし、この方法では、純良な単一相試料を得ることは困難であった。

我々は高温高圧合成法がスクッテルダイト化合物の合成に有効であることを見出し、これまでに新物質を含む多くのスクッテルダイト化合物の単一相多結晶試料の合成に成功している⑤。しかし、精密な物性測定を行うためには単結晶試料が不可欠であり、さらに中性子散乱実験、超音波測定などでは大形の単結晶試料が必要とされる。このようにスクッテルダイト化合物の大形単結晶育成技術の確立は、この分野の発展には欠かせない非常に重要な課題である。そこで、我々は高圧力下でのスクッテルダイト化合物の単結晶育成技術の確立を目指し、高温高圧力下における結晶化過程をX線でその場観察する技術を開発した。本論文ではその技術といくつかの測定例を報告する。

#### 2. 実験

#### 2.1 軌道放射光

高温高圧合成中の試料の状態を知る方法として X 線回折が考えられるが、研究室にある従来の X 線回折実験装置では X 線強度が弱く、データをと るのに非常に長時間を要するため、実質的に実験 は不可能である。そこで、従来の X 線回折装置に 比較し、桁違いに強度の強い軌道放射光(高エネ ルギーの電子が磁場の中を運動するとき、円運動 の中心に向かって力を受け、軌道が曲げられる際 に円軌道の接線方向に放射される電磁波)の X 線 を利用する。放射光の利用により数日かかってい た1つの温度点の測定が数分で可能となる。 実験 は高エネルギー加速器研究機構物質構造科学研究 所の放射光科学研究施設(フォトン・ファクトリ ー、PF) で行なった。PF には 3GeV のエネルギ ーまで加速された電子を蓄積する PF リングと大 強度パルス放射光が利用できる PF-AR リング (6.5GeV)の二つのリングがあり、紫外線から X 線 までの非常に幅広い波長の放射光を発生する。 我々の実験は PF-AR の実験ステーション (AR-NE5C) を利用した(図2)。



図 2 PF-AR の実験ステーション (NE5C) での実験の様子

#### 2.2 高圧発生装置

AR-NE5C にはキュービックアンビル型高圧発生装置 (MAX80) が設置されている (図 3)。これは 500 トン高精度油圧制御装置と DIA-10 型キュービックアンビル装置を組み合わせたものである。作業性を良くするため上部ブロックは大きく上に開放できる構造になっている。また、X 線ビ



図 3 キュービックアンビル型高圧発生装置 (MAX80)



図 4 超硬合金 (タングステンカーバイド) 製アンビル

ーム位置との微調整を行うため、自重が 10 トン近くある重い装置をミクロン精度で移動させる必要がある。このため、全体をステンレス磨き板の上に置いた 24 個のパッドで支え、パッドの底面から圧縮空気を吹き出させて数ミクロン浮上させ平面内を移動できるようになっている。

キュービックアンビル装置には、図4のような超硬合金アンビルが上下に一つずつ、側面に4つ配置されている。加圧は下側のラムを油圧によって上昇させ、それに連動し、側面の4つのアンビルがガイドブロックをスライドし、6方向からキューブを押すことによって行う。図5にアンビルが取り付けられた様子を示す。側面の4つのアンビルと下側アンビルが見える。X線はアンビルの隙間から入射し、やはり、アンビルの隙間から取



図5 ガイドロックにアンビルが取り付けられた様子

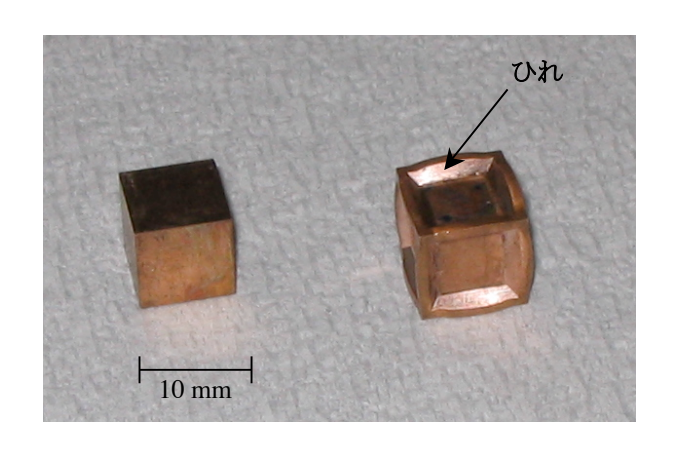


図6 アンビル調整用の銅ブロック加圧前(左)と加圧後(右)

り出す。手前の二つのアンビルの隙間に X 線取り出し用のコリメーターが挿入してある。各アンビルが均等にキューブを押せることを確認するため、銅ブロックをダミーキューブとして加圧を行う。図6に加圧前(左)と加圧後(右)の銅ブロックを示す。加圧後は、アンビルの隙間からひれが形成される。銅ブロックの面間隔やひれの厚さを測り、必要であればスペーサーを入れる等によりアンビルを微調整する。発生圧力はアンビルの先端のサイズによって異なるが、10GPa 程度まで加圧可能である。

#### 2.3 セルアセンブリ

先端 6mm 角の超硬合金 (タングステンカーバ イド製) アンビルを用い、9mm 角のキューブを 使用する場合のセルアセンブリの例を図7に示す。 通常、高温高圧合成には圧力媒体としてパイロフ ィライト ( Al<sub>2</sub>Si<sub>4</sub>O<sub>10</sub>(OH)<sub>2</sub> ) を用いるが、X 線を 通すことを考え、圧力媒体にはアモルファスボロ ンをエポキシ系接着剤で固めたものを用いる。加 熱用のヒーターにはグラファイトを円筒状に加工 したもの、試料カプセルには BN を用いた。この アセンブリは 1000℃以下の実験には問題ないが、 これより高温になるとボロンエポキシの断熱効果 と機械的強度の低下が起こりブロウアウトの可能 性が高まる。文献 (6) によるとボロンエポキシは 優れた断熱性を有しているが、800℃付近からエ ポキシ樹脂の分解が顕著になり、それにともなっ て、断熱効果が下がり、物理的性質も変化するの で、1300℃以上の実験はかなりの困難をともなう ようである。そこで、1000℃以上の高温での使用 を可能にするため図8のようなセルアセンブリを

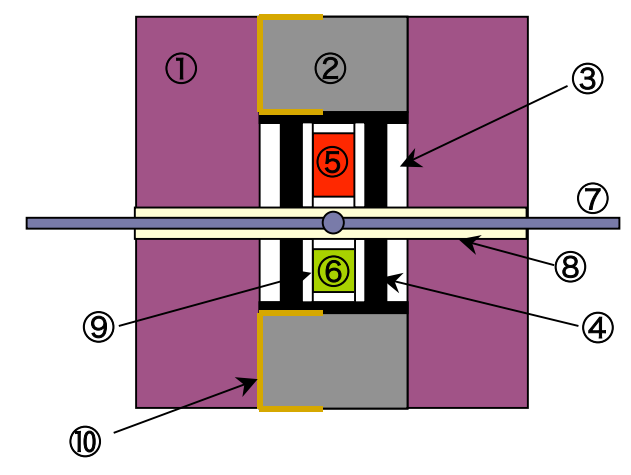


図7 9mm 角キューブのセルアセンブリ ①圧力媒体(ボロンエポキシ)②エンドプラグ (パイロフィライト)③BN スリーブ ④グラフ ァイトヒーター ⑤試料 ⑥圧力マーカー⑦熱電 対 ⑧ガイシ ⑨BN 試料カプセル ⑩電極(金 箔)

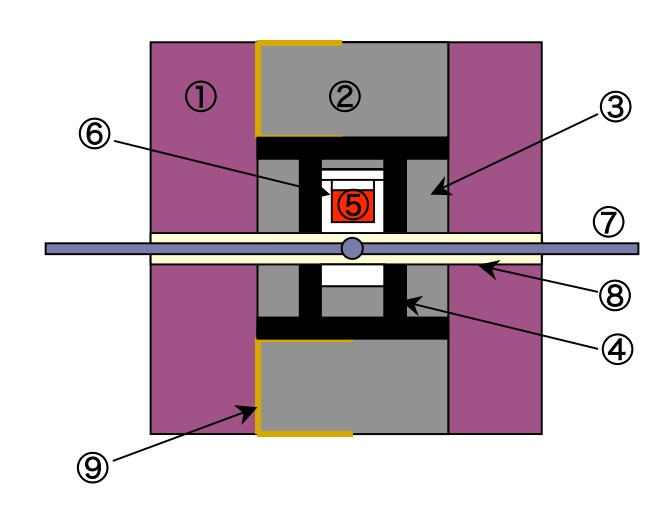


図8 高温用セルアセンブリ

①圧力媒体(ボロンエポキシ)②エンドプラグ (パイロフィライト)③スリーブ(パイロフィ ライト)④グラファイトヒーター⑤試料⑥ BN 試料カプセル⑦熱電対⑧ガイシ⑨電極(金 箔)

試みた。BN のスリーブの代わりにパイロフィライトのスリーブを用い、さらにスリーブの外径を大きくして高温での断熱効果を高めた。また、試料が溶融する際にブロウアウトの危険があるため、試料容積は小さくしてある。このセルアセンブリで1650℃までの高温で安定して使用できることを確認している。ただ、パイロフィライトを使うことで、低エネルギー側の X 線の吸収が大きくなり

逆格子空間(結晶の対称性を反映している空間)の観測可能範囲が狭まることから測定試料によっては使用できない場合もある。パイロフィライトより断熱効果が高い LaCrO<sub>3</sub> をスリーブに使うことも可能であるが、この場合、X 線の吸収が大きすぎて放射光も透過できないので、X 線観測用の窓が必要となる。

#### 2.4 X線その場観祭

実験ハッチ内に導かれた最大 60mmW×5mmH 程度の高エネルギー白色 X 線を4次元スリットに よって細束化して使用する。アンビルの隙間から X 線を入射し、回折線もやはりアンビルの隙間か ら取り出し、検出には半導体検出器を用いる。粉 末結晶の回折図形はふつう、角度の関数として測 定される(角度分散法)が、半導体検出器を用い れば、試料と検出器を固定したまま、回折図形を X 線のエネルギーの関数として測定することがで きる (エネルギー分散法)。エネルギー分散法に は前述のように白色 X 線(連続 X 線)が利用さ れ、一定方向から入射した X 線が一定方向に回折 されるときの X 線のエネルギーを分析する。ブラ ッグの式より、各ピークのエネルギー値から、そ れに対応する結晶格子面がただちにわかる。散乱 角が一定であるため、高圧実験のように X 線をと りだす方向が限られる場合には適している。測定 エネルギー領域は 20keV~140keV、エネルギー分 解能は□E/E=5×10<sup>4</sup>である。エネルギー分散法で は広い逆格子空間の回折図形(角度分散法では広 い角度範囲に相当)を短時間(5~10分)にリアル タイムで測定できるため高温高圧力下での試料状 態の同定を短時間に行うことができる。

#### 2.5 圧力測定

発生圧力は NaCl などの圧力マーカーの格子定数を測定して決定する。圧力を正確に決定する場合は図 7 のように試料と同時に NaCl を入れて測定する。試料容積を多くとりたい場合は、あらかじめ、プレスの荷重(油圧)と発生圧力の関係を求めておき、油圧によって発生圧力を見積もる。図 9 に先端 6mm 角の超硬合金アンビルを用い、9mm 角のキューブを使用した場合の油圧と発生圧力の関係を示す。

#### 2.6 試料の加熱

試料の加熱は上下のアンビルを電極とし、パイロフィライトのエンドプラグに巻き付けた金箔を

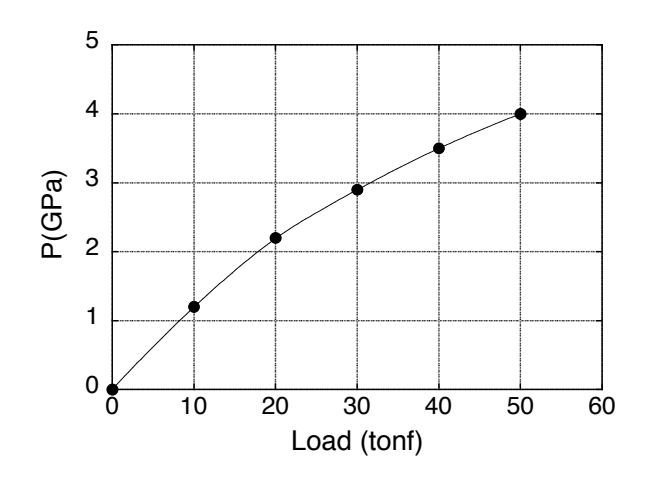


図 9 油圧と発生圧力 (先端 6mm 角の超硬合金 アンビル、9mm 角のボロンエポキシキューブを 使用した場合)

介してグラファイトヒーターに通電することにより行う(図7、8参照)。加熱電源は高砂製作所の交流電源 AA2000F を使用し、これに 10:1 のステップダウントランスを組み合わせ、ヒーターに大電流を流す。温度測定にはR熱電対 (Pt/PtRh)を用いた。熱電対はガイシに通しキューブの中央、試料に近い位置に配置する。キューブの外に取り出した熱電対は側面の対向するアンビルを電極として用いる。

#### 3. 測定例

多結晶試料の高圧合成では、各構成元素の固相 反応によって合成できた。しかし、単結晶育成に は試料を溶融させ、その後徐冷する必要がある。 そこで、我々は、第一ステップとして高圧合成で 得られた多結晶試料を出発物質として用い、X線 その場観察により、その融点を調べる実験を行っ た。二元系のスクッテルダイト化合物  $CoP_3$ 、 $CoSb_3$ 及び三元系の充填スクッテルダイト化合物  $CeFe_4Sb_{12}$ 、 $PrRu_4P_{12}$ の測定例を紹介する。

#### 3.1 CoP<sub>3</sub>

 ${
m CoP_3}$  は  $3.5{
m GPa}$ 、1100  ${
m C}$ 、60 分保持で多結晶試料を合成し、その後 1500  ${
m C}$ まで昇温し、徐冷することで、単結晶が得られている ${
m COP_3}$ 。まず、この物質の高圧下の融点を調べる実験を行なった。出発物質は東京大学物性研究所の斜面駆動式キュービックアンビル型高圧発生装置を用い、圧力  $4{
m GPa}$ 、温度 1100  ${
m C}$ 、保持時間 30 分で合成した  ${
m CoP_3}$ を粉

末にしたものを用いた。

実験手順は室温で昇圧を 3.8GPa まで行い、こ の圧力を保持したまま室温から 1400℃まで上昇さ せ、試料の溶融する温度前後の回折パターンを観 察した。図 10 に CoP<sub>3</sub>の室温、1気圧の X 線回折 パターン及び 3.8GPa における 1350℃、1400℃の X線回折パターンを示す。測定時間は5分である。 室温、1気圧で観測されたピークはほとんどがCoP。 のものであり、スクッテルダイト構造の面指数を 付けることができる。数字はスクッテルダイト構 造の面指数を表している。●印は試料以外の BN 等のピークである。3.8GPa、1350℃では結晶粒の 配向などにより、試料ピークの強度比は変化して いるが、回折線の位置のパターンは変化していな いことから、この温度ではスクッテルダイト構造 を保っていると考えられる。1400℃になると X 線 回折パターンが劇的に変化し、1350℃で観測され た試料ピークは完全に消失している。これは、こ の温度で試料が溶融したことを示している。本実 験により CoP<sub>3</sub>の 3.8GPa での融点は 1350~1400℃ であると考えられる。溶融状態から徐冷すると再 び試料ピークが観測され、CoP。はこの圧力でコン グルエント溶融状態になることが分った。

#### 3.2 CoSb<sub>3</sub>

CoSb<sub>3</sub> は元素置換を行なうことで、高性能熱電材料としての応用が期待されている物質である。 CoSb<sub>3</sub> に関しても CoP<sub>3</sub> と同様の実験を行なった。 出発物質は東京大学物性研究所の斜面駆動式キュービックアンビル型高圧発生装置を用い、圧力 4GPa、温度550 $^{\circ}$ C、保持時間120分で合成したCoSb<sub>3</sub>を粉末にしたものを用いた。

室温の試料ピークに比べ、2.5GPa の試料ピークは線幅が広がっており、加圧により試料に歪が入ったものと考えられる。温度を上げていくとアニール効果により 300  $^{\circ}$  ではピークがかなり鋭くなっている(図 12)。820  $^{\circ}$  で見られる試料ピークは、840  $^{\circ}$  (図省略)で大部分が消失し、860  $^{\circ}$  ではハ

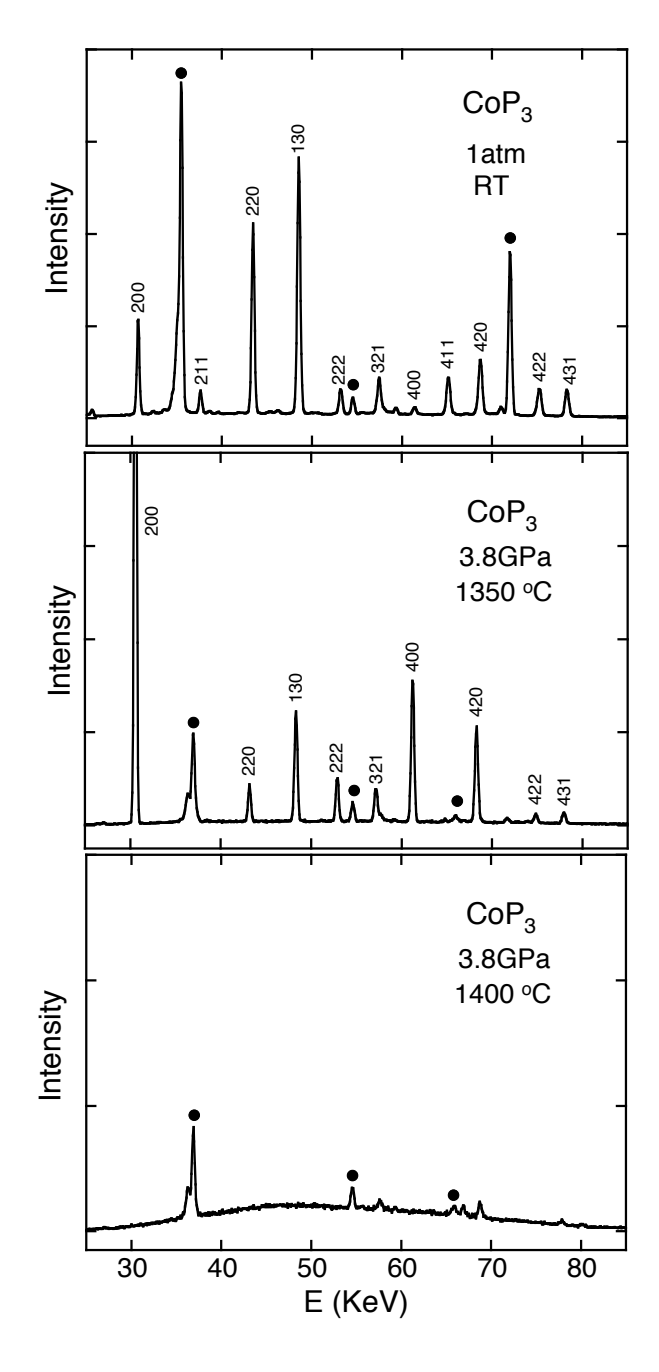


図 10  $CoP_3$  の 3.8GPa、各温度での X 線回折パターン。1400 $^{\circ}$ では完全に試料ピークは消失している。温度を下げていくと、再び試料ピークが観測される。

ローパターンが見られるだけで完全に消失している。この温度で試料は溶融状態にあると考えられる。この状態から温度を徐々に下げると 700  $^{\circ}$   $^{\circ}$ 

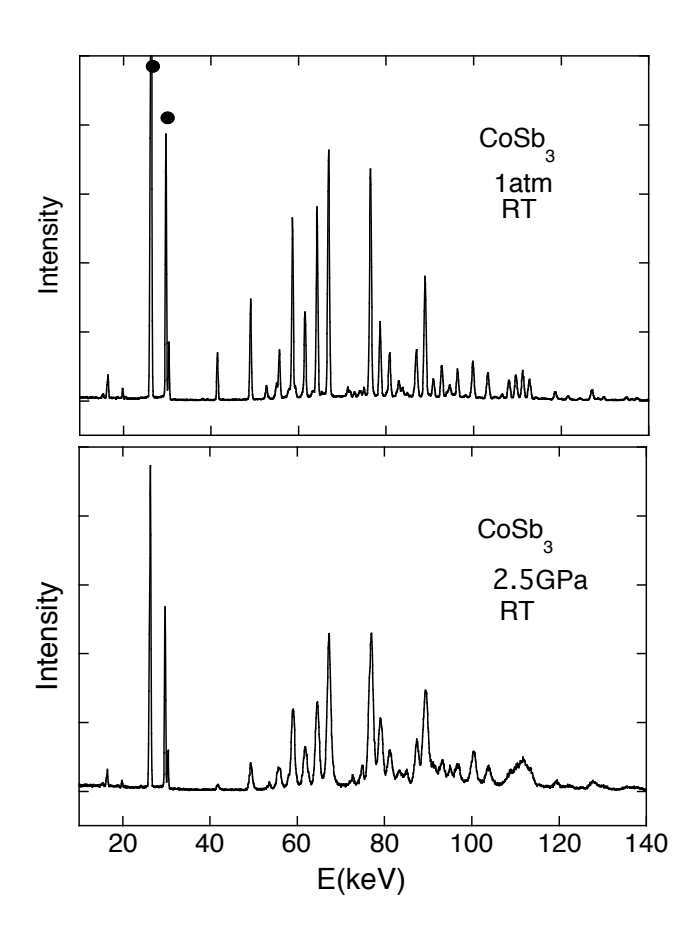


図 11  $CoSb_3$  の室温、 1 気圧及び 2.5GPa の X 線回折パターン。 30keV 付近のピークは Sb の 特性 X 線である。

あると考えられる。

#### 3.3 CeFe<sub>4</sub>Sb<sub>12</sub>

充填スクッテルダイト化合物  $CeFe_4Sb_{12}$  に関しても X 線その場観察実験を行なった。この物質も  $CoSb_3$  と同様、優れた熱電特性を有する物質として注目されている。出発物質は圧力 4GPa、600  $^{\circ}$  、保持時間 120 分で合成した試料を粉末にして使用した。

室温で 2.3GPa まで加圧し、この圧力を保持したまま昇温し、X 線その場観察を行った。図 13 に室温、1 気圧及び 2.3GPa の X 線回折パターンを示す。 $\blacksquare$ 印をつけた 30keV 付近の強いピークは  $CoSb_3$  と同様、Sb の特性 X 線である。その他のピークはスクッテルダイト構造のピークに帰属できる(面指数は省略)。600 で見られる試料ピークは、700 ではハローパターンが見られるだけで完全に消失している。この温度で試料は溶融状態にあると考えられる。しかし、 $CeFe_4Sb_{12}$  は $CoSb_3$  や  $CoP_3$  と異なり、この状態から温度を徐々

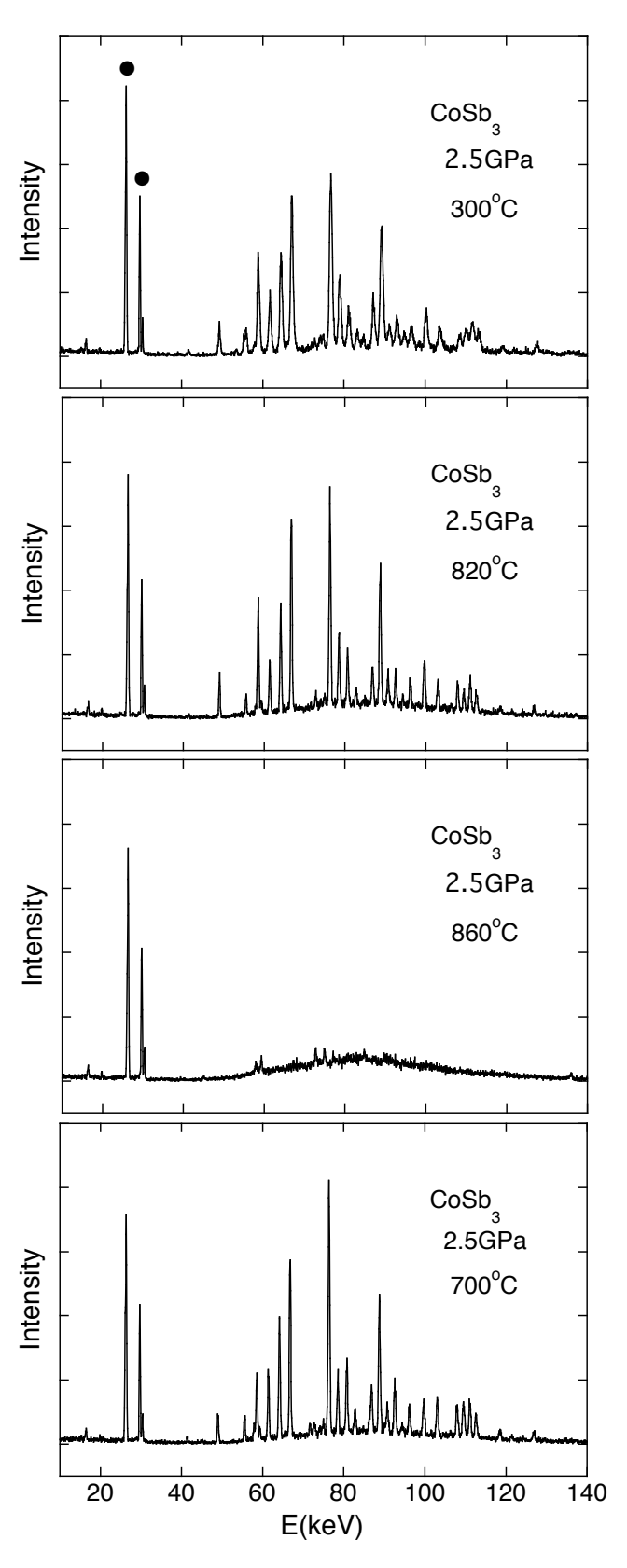


図 12  $CoSb_3$ の 2.5GPa、各温度での X 線回折パターン。860 $^{\circ}$ では完全に試料ピークは消失している。温度を下げていくと再び試料ピークが観測される。

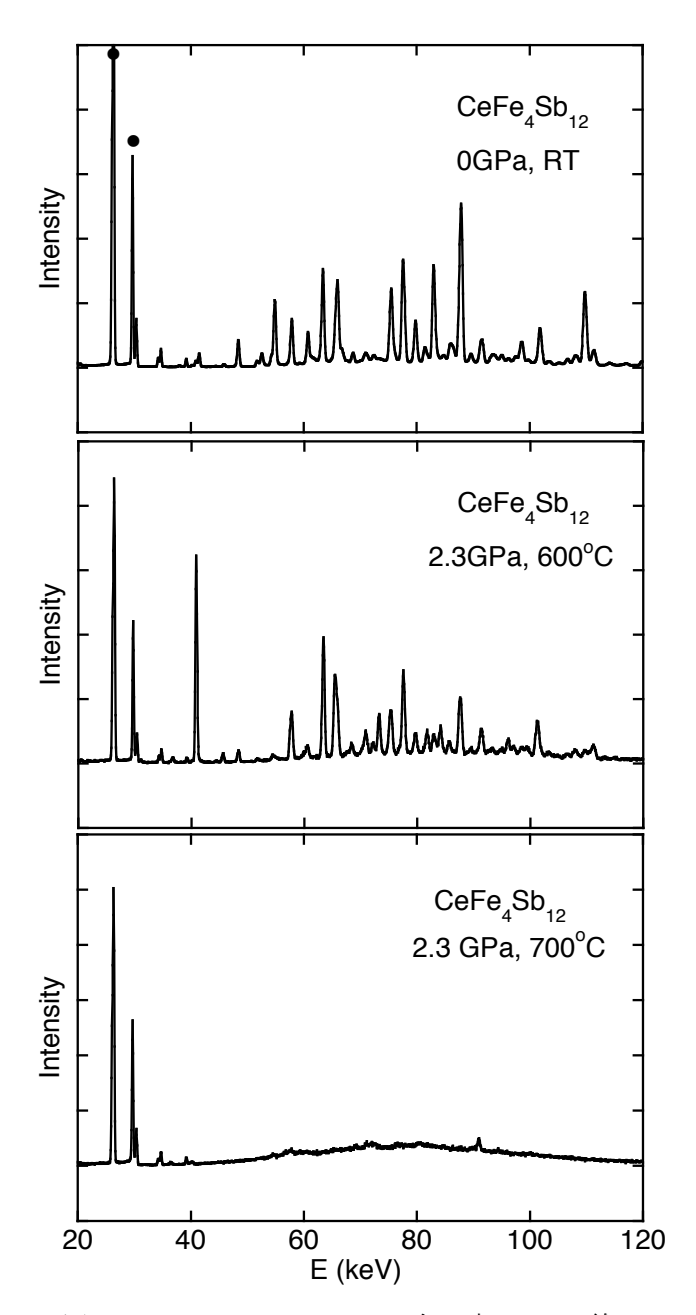


図 13  $CeFe_4Sb_{12}$  の 2.3GPa、各温度での X 線回 折パターン。 $700^{\circ}$ Cでは完全に試料ピークは消失している。

に下げるとスクッテルダイト構造のピークは消失し、 $FeSb_2$ と Sb のピークが観測された。従って、 $CeFe_4Sb_{12}$ は 2.3GPa ではコングルエント溶融状態にはなく、融解後は分解してしまうことが分った。これは、これまで高圧合成で  $CeFe_4Sb_{12}$ を合成した場合、 $700\sim750^\circ$ Cで合成した試料にはスクッテルダイト構造のピークは見られるものの、不純物相として  $FeSb_2$ や Sb が多く含まれ、 $600^\circ$ Cで長時間保持した場合に  $CeFe_4Sb_{12}$  の単一相が得られることを裏付ける結果となった。高圧下で  $CeFe_4Sb_{12}$ 

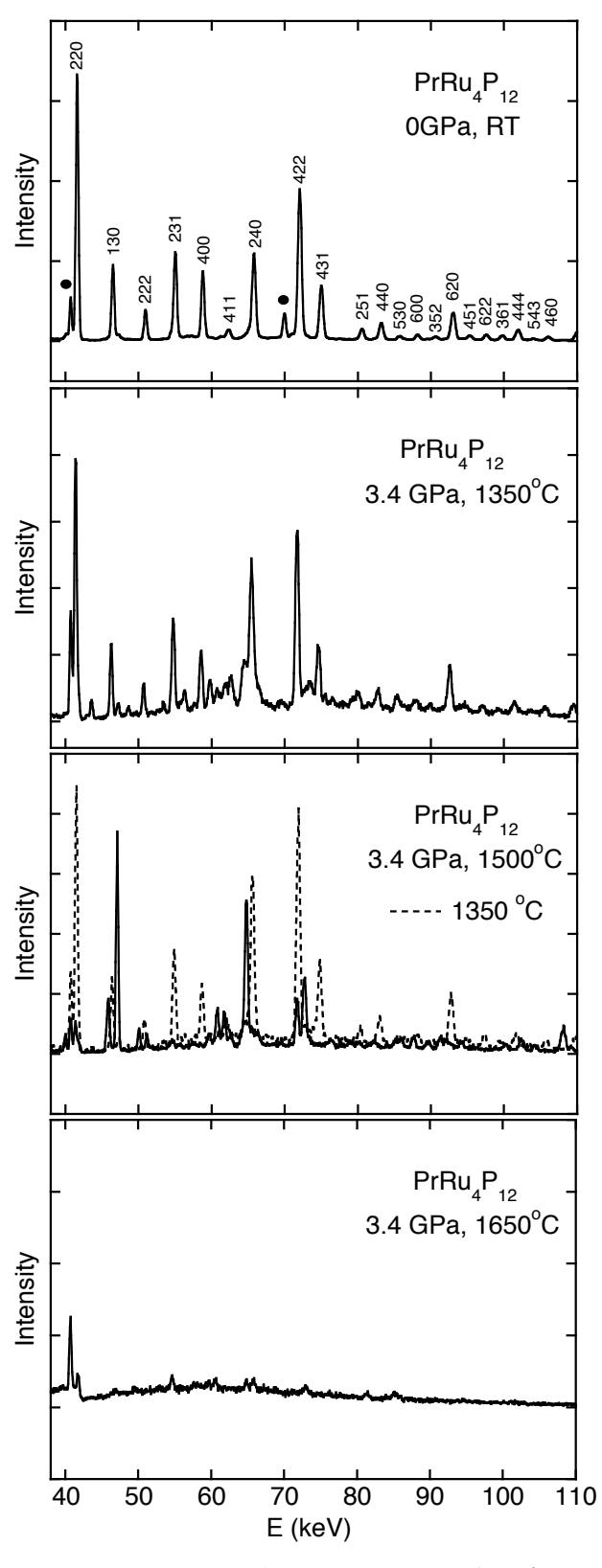


図 14  $PrRu_4P_{12}$  の 1 気圧及び 3.4GPa、各温度での X 線回折パターン。1500 $^{\circ}$ ではスクッテルダイトピークがほとんど消失し  $RuP_2$  のピークが見られる。1650 $^{\circ}$ では完全に試料ピークは消失している。

を合成する場合、融点(690~700°C)以下で固相 反応させる必要があることが確認できた。

#### 3.4 PrRu<sub>4</sub>P<sub>12</sub>

PrRu<sub>4</sub>P<sub>1</sub>, は 60K 付近で金属―絶縁体転移を示す 化合物である<sup>(2)</sup>。出発物質は圧力 4GPa、1100℃、 保持時間 30 分で合成した試料を粉末にして使用 した。PrRu₄P<sub>1</sub>,の融点は 1300℃以上の高温である ことが予想されるため、高温型のセルアセンブリ (図8)を用いた。実験手順は室温で昇圧を3.4GPa まで行い、この圧力を保持したまま昇温させ、X 線回折パターンを観察した。図 14 に PrRu<sub>4</sub>P<sub>12</sub>の 室温、1 気圧及び 3.4GPa における 1350℃、1500℃ 及び 1650℃の X 線回折パターンを示す。1 気圧、 室温で観測されたピークはほとんどが試料 PrRu<sub>4</sub>P<sub>1</sub>,のピークである。数字はスクッテルダイ ト構造の面指数を示している。●印のピークは試 料以外のセル構成物質(BN、パイロフィライト 等)によるものと考えられる。1350℃まではスク ッテルダイト構造を保っているが、この温度以上 で RuP<sub>2</sub>と考えられるピークが現れる。1500℃で はスクッテルダイト構造のピークはほとんど消失 し、RuP,のピークが多く観測される。比較のため に 1500℃の回折パターンに重ねて 1350℃のピー クを示す。1650℃では試料ピークは完全に消失し、 試料が溶融したことを示している。1650℃で見ら れるピークは試料以外のパイロフィライトや BN 等のピークである。本実験により PrRu<sub>4</sub>P<sub>12</sub> の 3.4GPa での融点は 1600~1650℃であると考えら れる。溶融状態から徐冷すると RuP2 のピークが 多く現れ、スクッテルダイト構造のピークは観測 されなかった。従って、CeFe<sub>4</sub>Sb<sub>12</sub>と同様、PrRu<sub>4</sub>P<sub>12</sub> も 3.4GPa でコングルエント溶融状態にはないこ とが分った。また、1350℃以上で RuP, のピーク が成長することから、高圧下で  $PrRu_4P_{12}$  を合成す るには 1350℃以下で固相反応させる必要があるこ とが確認できた。

#### 4. まとめ

高圧下における単結晶育成を目指し、放射光 X線によるその場観察技術の開発を行なった。この実験技術を用いることで、試料の高圧下における融点を知ることが可能となった。スクッテルダイト化合物  $CoP_3$ 、 $CoSb_3$ 、 $CeFe_4Sb_{12}$  及び  $PrRu_4P_{12}$  の融点を表 1 にまとめる。

表1 スクッテルダイト化合物の高圧下に おける融点

化合物	圧力 (GPa)	融点 (℃)
CoP <sub>3</sub>	3.8	1350~1400
CoSb <sub>3</sub>	2.5	820~ 840
CeFe <sub>4</sub> Sb <sub>12</sub>	2.3	690~ 700
PrRu <sub>4</sub> P <sub>12</sub>	3.4	1600~1650

スクッテルダイト化合物は 1 気圧の下ではイン コングルエントであり、試料作成には適切な組成 のフラックスを選択し、添加しなければならない。 しかし、少なくとも二元系の CoP<sub>3</sub>、CoSb<sub>3</sub> は高圧 下でコングルエント溶融状態にあり単結晶化が可 能であることが分った。今後は融点の圧力依存性 や徐冷のスピードによる結晶成長の違い、クエン チする温度などを決定する必要がある。三元系の 充填スクッテルダイト化合物 CeFe<sub>4</sub>Sb<sub>12</sub>、PrRu<sub>4</sub>P<sub>12</sub> は高圧下でコングルエント溶融状態にはなく、溶 融状態から徐冷しても単結晶育成は望めない。今 後はフラックス剤の使用を試みたいと考えている。 また、CeFe<sub>4</sub>Sb<sub>12</sub>、PrRu<sub>4</sub>P<sub>12</sub>の実験から明らかなよ うに、この観測技術は高圧下の固相反応による合 成に関しては、不純物相の成長を抑え、目的物質 だけを合成する条件を決定するには最適な方法と いえる。

#### 謝辞

本研究は高エネルギー加速器研究機構 物質構造科学研究所 放射光共同利用実験課題 (20036038) として行なわれた。ビームライン担当者である物質構造科学研究所の亀卦川卓美先生にお世話になりました。ここに感謝の意を表します。また、本研究の一部は文部科学省科学研究費補助金特定領域研究「スクッテルダイト」(No. 15072201) を受けて行なわれた。

#### 参考文献

- (1) E.B. Bauer, N.A. Frederic, P.-C. Ho, V.S. Zapf and M.B. Maple, Phys. Rev. B65 (2002) 100506(R).
- (2) C. Sekine, T. Uchiumi, I. Shirotani, and T. Yagi, Phys. Rev. Lett. **79** (1997) 3218.
- (3) H. Sato, Y. Abe, H. Okada, T.D. Matsuda, K.Abe, H. Sugawara and Y. Aoki, Phys. Rev. B 62 (2000) 15125.

- (4) W. Jeitschko, D. Braun: Acta Crystallogr., Sect. B: Struct. Crystallogr. Chem., **33**, 3401(1977).
- (5) 関根ちひろ、城谷一民、高圧力の科学と技術 第13巻、第2号 (2003) 176.
- (6) 内海渉、高圧力の科学と技術 第 14 巻、第
- 4号 (2004) 346.
- (7) C. H. Lee, H. Kito, H. Ihara, K. Akita, N. Yanase, C. Sekine and I. Shirotani, J. Crystal Growth **263**, Issues 1-4, 1 March (2004) 358-362.